

大阪市立大学 正員 ○小林 治俊
 " " 園田 恵一郎
 兵庫県 " 寒川 美樹

1 まえがき 走行荷重による平板の動的挙動に関する研究は古くから行われているが、通常薄板理論によって行われており、動的挙動に及ぼすせん断変形および回転慣性の影響は考慮されていない。平板の静的曲げ解析において、板厚/スパン比が大きくなれば、せん断変形の影響を無視出来ないことは良く知られた事実であり、動的解析においてより顕著にその影響が表わるところが予想される。現在のこところ、せん断変形と回転慣性を考慮した動的解析は、Shirakawa³⁾による Ambartsumyan 理論を用いた四辺単純支持板の解析が見らるるだけである。本研究は、Mindlin 理論による動的解析法を示すと共に、相対ス辺単純支持、残りの2辺が自由な平板上を線荷重が移動する場合の動的性状が、(1) 板厚/スパン比の変化 (2) 走行速度の変化 (3) 板の内部減衰率によりどのように影響を受けるかを調べるものである。なお、今回の解析において回転慣性の影響は考慮していない。

2 動的応答解析法

図1に、取り扱う平板とその座標系を示す。走行荷重は、強度半幅 $2y_0$ の線荷重で、一定速度 v で x 軸上を移動するものとする。板の内部減衰を含めた支配方程式は、

$$\Delta_1(w, \psi_x, \psi_y) = 0 ; \quad \Delta_2(w, \psi_x, \psi_y) = 0 ;$$

$$\Delta_3(w, \psi_x, \psi_y) + 2\beta\rho h\dot{w} + \rho h\ddot{w} = g(x, y, t) \quad (1)$$

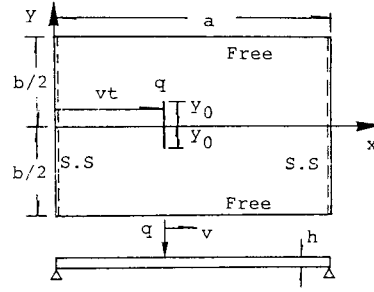


図1. 座標系

$$\Delta_1 = \frac{D}{2} \left\{ (1-\nu) \nabla^2 \psi_x + (1+\nu) \frac{\partial^2 w}{\partial x^2} \right\} + KGh \left(\frac{\partial w}{\partial x} - \psi_x \right); \quad \Delta_2 = \frac{D}{2} \left\{ (1-\nu) \nabla^2 \psi_y + (1+\nu) \frac{\partial^2 w}{\partial y^2} \right\} + KGh \left(\frac{\partial w}{\partial y} - \psi_y \right); \quad \Delta_3 = KGh (\ddot{w} - \nabla^2 w) \quad (2)$$

ここで $\nabla = \partial \psi_x / \partial x + \partial \psi_y / \partial y$; $D^2 = \text{Laplacian}$; $w = \text{たわみ}$; $\psi_x, \psi_y = x, y$ 方向の回転角; $D = \text{板剛度}$; $G = \text{せん断弾性係数}$; $\nu = \text{ポアソン比}$; $\beta = \text{板減衰係数}$; $h = \text{板厚}$; $\rho = \text{板密度}$; $K = \text{せん断修正係数}$; $\cdot = \partial / \partial t$; $\cdots = \partial^2 / \partial t^2$; $t = \text{時間}$; $g = \text{荷重}$ 。せん断修正係数は動的解析では $\pi^2/12$ 、静的解析では $5/6$ と採用される事が多いが、本文では $K = 5/6$ と統一する。

式(1)の、後の数値計算を考慮して、慣性力項・減衰力項を無視した場合の解(準静的解と呼ぶ) w^s, ψ_x^s, ψ_y^s と、それらを考慮した場合の解(動的解) w^d, ψ_x^d, ψ_y^d とに分離させて解く。即ち、

$$w = w^s + w^d; \quad \psi_x = \psi_x^s + \psi_x^d; \quad \psi_y = \psi_y^s + \psi_y^d \quad (3)$$

とおけば、準静的解と動的解は対応する支配式は(1)式より(4)(5)式となる。

準静的解

$$\Delta_1(w^s, \psi_x^s, \psi_y^s) = 0$$

$$\Delta_2(w^s, \psi_x^s, \psi_y^s) = 0$$

$$\Delta_3(w^s, \psi_x^s, \psi_y^s) = g(x, y, t) \quad (4)$$

動的解

$$\Delta_1(w^d, \psi_x^d, \psi_y^d) = 0$$

$$\Delta_2(w^d, \psi_x^d, \psi_y^d) = 0$$

$$\Delta_3(w^d, \psi_x^d, \psi_y^d) + 2\beta\rho h\dot{w}^d + \rho h\ddot{w}^d = -2\beta\rho h\dot{w}^s - \rho h\ddot{w}^s \quad (5)$$

式(4)は、通常の静的解析により解けるが、動的解を後で求める都合上、回転慣性を無視した Mindlin Plate の固有関数⁵⁾ $W_{mn}(x, y), \Psi_{x,mn}(x, y), \Psi_{y,mn}(x, y)$ はより次式で表わす。

$$\{w^s, \psi_x^s, \psi_y^s\} = \sum_{m=1}^{\infty} \sum_{n=1}^{\infty} a_{mn}(t) \{W_{mn}(x, y), \Psi_{x,mn}(x, y), \Psi_{y,mn}(x, y)\}; \quad g(x, y, t) = \sum_{m=1}^{\infty} \sum_{n=1}^{\infty} b_{mn}(t) W_{mn}(x, y) \quad (6)$$

$$\text{ここで}, \quad W_{mn}(x,y) = Y_{mn}(y) \sin dm\pi x, \quad \Psi_{x,mn}(x,y) = \Psi_{x,mn}(y) \cos dm\pi x, \quad \Psi_{y,mn}(x,y) = \Psi_{y,mn}(y) \sin dm\pi x.$$

$$b_{mn}(t) = g_{mn}^* \sin(dm\pi t), \quad b_{mn}^* = \int_0^{l_0} Y_{mn}(y) dy / \int_0^a \int_0^{l_0} Y_{mn}^2(y) \sin^2 dm\pi x dy dx$$

式(6)を式(4)に代入すれば、未定係数 $a_{mn}(t) = (2C^3/D)(b_{mn}^*/\lambda_{mn}) \sin(dm\pi t)$, λ_{mn} = 固有値 —— (7), を得る。
次に動的解も固有関数 ψ は $\{\psi^d, \Psi_x^d, \Psi_y^d\} = \sum_{m=1}^{\infty} \sum_{n=1}^{\infty} b_{mn}(t) \{W_{mn}(x,y), \Psi_{x,mn}(x,y), \Psi_{y,mn}(x,y)\}$ —— (8)
と表わし、式(6)の準静的解と共に式(5)に代入すれば、次の $Z_{mn}(t)$ = 次の微分方程式を得る。

$$\ddot{Z}_{mn} + 2\beta Z_{mn} + P^2 Z_{mn} = \frac{8C^3}{D} \frac{\lambda_{mn}^4}{\sin^2 dm\pi x} \left[(dm\pi)^2 \sin(dm\pi t) - 2P dm\pi \cos(dm\pi t) \right] \quad —— (9)$$

式(9)は初期条件: $(W^d)_{t=0} = 0, (\dot{W}^d)_{t=0} = 0$ かつ $(W^d)_{t=0} = -(W^s)_{t=0}, (\dot{W}^d)_{t=0} = -(\dot{W}^s)_{t=0}$ —— (10)
をえて容易に解くことが出来る。

3 数値計算結果

諸元は $a/b = 1, y_0/b = 1/20, v = 0.3$

と固定し、板厚/スパン比 (t/a), $\sqrt{v/t}$

$$-D\text{パラメータ} - C = \frac{\pi v}{a} / \rho_i = \frac{v T_i}{2a}$$

(ρ_i, T_i = 基本固有振動数、周期),

対数減衰率 $d = \beta \frac{2\pi}{T_i}$ をパラメータとして

数値計算を行った。準静的解式(6)

は、これと等価な半波数解を別に説
導し、収束を述べた。

図2は、板中央の動たわみを薄
板の静的最大たわみ W_0 で割った無
次元動たわみ曲線である。薄板、
厚板とも $C < 2.0$ ではいくつもアビ
ークを持つが、 C の増大と共に \rightarrow
 $a^{\theta}-\gamma$ 値を持つようになり、それが
が右方へ、即ち荷重位置が右支点に
近づくにつれてたわみ最大値となる。

図3は、動最大たわみ W_{max} を薄
板の静的最大たわみ W_0 で割り、
たわみ C の変化に対応して描いた
ものである。 $C < 0.2$ では幾つも
アビークを持つ複雑な曲線となる
が、 C の増大と共に \rightarrow の θ°
 γ を持ち、それはあるとき $C \sim$
 $0.4 \sim 0.5$ において起る。せん断
変形の影響は、例えば $C = 0.15$
の場合、静的たわみに対する増
加率が $t/a = 0.1$ に対し約22%、
 $t/a = 1$ に対し約34%である。一方
減衰効果はせん断変形のそれに
比べるとやさかのようである。

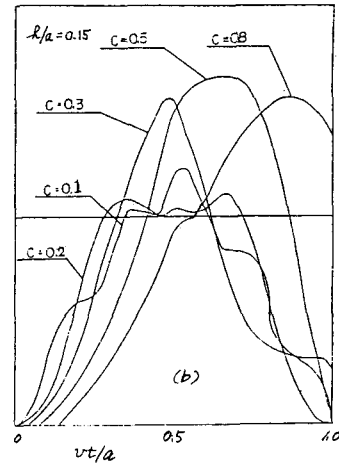
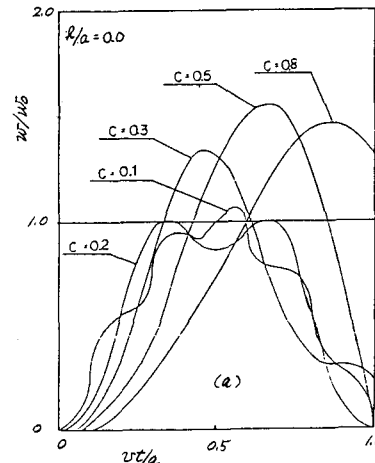


図2. 板中央の動たわみ曲線 (W_0 =薄板の静的最大たわみ): (a) 薄板 (b) 厚板

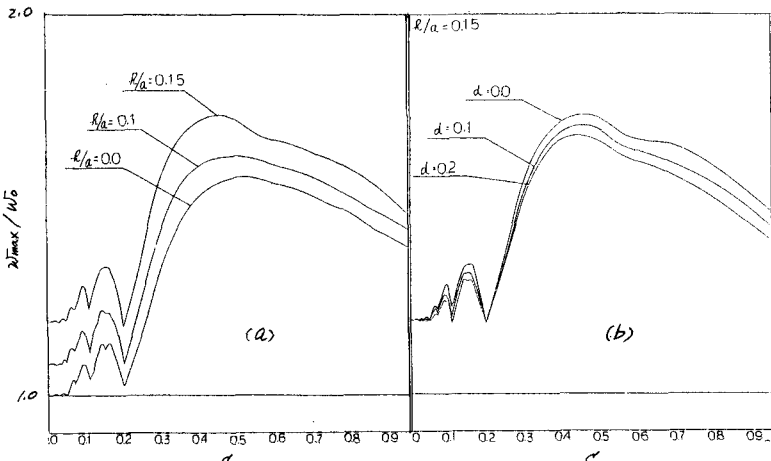


図3. 最大たわみの増加 VS. スピードパラメータ C (a) 梁基なし板厚変化 (b) 板厚一定減衰変化

4 参考文献

- (1) 平井一男: 物動荷重に対する相対2次モード支承, 他の自由端の直交異方性
板の動的性質, 土木論文集 92号
- (2) Iyenger et al.: The Response of Beam and Slab Bridges to Moving Forces,
IABSE Pub. Vol. 28-2
- (3) Shirakawa: Response of Rectangular Thick Plate to Moving Single Load, Ing. Arc. Vol. 50
- (4) マリーベル: 漸近平板 (筑摩館)
- (5) 久林・圓田: 粘弹性基礎上のせん断变形を考慮した矩形板の解析, 土木構造 32